

УДК 539.143.43

© 1990

## ЯМР В ГИДРИДАХ $Y_6Fe_{23}H_x$

B. A. Васильковский, M. I. Барташевич, A. A. Горленко,  
H. M. Ковтун

Методом ЯМР изучено влияние водорода на локальные поля на ядрах немагнитных атомов иттрия в магнитоупорядоченных гидридах  $Y_6Fe_{23}H_x$  при  $x \leq 8$ . В диапазоне концентраций  $0 < x < 1$  обнаружено существование структурных фаз  $Y_6Fe_{23}$  и  $Y_6Fe_{23}H_1$ , а при  $1 < x < 8$  фаз  $Y_6Fe_{23}H_1$  и  $Y_6Fe_{23}H_8$ . Когда  $x=1$ , поле на ядрах иттрия больше, а при  $x=8$  меньше, чем в исходном  $Y_6Fe_{23}$ . Обсуждение данных ЯМР проводится в модели, согласно которой спиновая плотность электронов вблизи иттрия возникает в результате гибридизации электронных состояний железа и иттрия. Показано, что заполнение состояний гибридной зоны в  $Y_6Fe_{23}H_x$  при  $x=1$  и 8 различно и зависит от позиций водорода в кристалле.

Гидриды металлов и интерметаллических соединений привлекают внимание исследователей возможностью их использования в качестве аккумуляторов водорода, а также перспективой целенаправленного получения новых магнитных материалов. Несмотря на то что гидриды металлических систем изучаются продолжительное время, до сих пор идет дискуссия между сторонниками акцепторной и протонной моделей водорода в гидридах. Неопределенность в оценке роли электронной системы водорода обусловлена наличием еще одного фактора, способного изменить свойства вещества, — увеличение параметра или изменение типа решетки кристалла при гидрировании.

В работе [1] мы предложили метод раздельной оценки этих факторов при изучении ядерного магнитного резонанса (ЯМР) в гидридах  $YFe_2H_x$ . Суть метода состоит в сопоставлении изменений локальных магнитных полей на ядрах при всестороннем сжатии образца кристалла и поглощении водорода. На основе изложенных ранее [2, 3] представлений о характере распределения спиновой плотности электронов в интерметаллических соединениях типа  $Y_nFe_m$  показано, что водород в гидридах  $YFe_2H_x$  является электронным акцептором. Ставя под сомнение универсальность такого вывода, мы провели подобные исследования гидридов интерметаллического соединения  $Y_6Fe_{23}$ .

### 1. Экспериментальная часть

Интерметаллическое соединение  $Y_6Fe_{23}$  кристаллизуется в кубическую структуру типа  $Th_6Mn_{23}$  (пр. гр.  $Fm\bar{3}m$ ) [4]. В этой структуре все атомы иттрия кристаллографически эквивалентны. В магнитном отношении это соединение является ферромагнетиком, магнитные свойства которого определяются подрешеткой железа [5].

Согласно данным рентгеноструктурного анализа, в образцах  $Y_6Fe_{23}H_x$  в интервале концентраций  $0 \leq x \leq 8$  наблюдаются три структурные фазы, отличающиеся параметром решетки  $a$ . Первая фаза  $\alpha_1$  имеет параметр решетки такой же, как и в исходном  $Y_6Fe_{23}$  ( $a=1.2078$  нм). Параметры решеток  $\alpha_2$ - и  $\alpha_3$ -фаз составляют 1.2106 и 1.2255 нм соответственно. В диапазоне составов  $0 < x < 1$  наблюдалась смесь фаз  $\alpha_1$  и  $\alpha_2$ , а при  $1 < x < 8$

фаз  $\alpha_2$  и  $\alpha_3$ . Как показал анализ рентгенограмм, с ростом концентрации водорода происходит обогащение сплава фазой с большим параметром решетки.

Спектры ЯМР записывались с помощью спектрометра спин-эха при температуре 4.2 К. Нами впервые обнаружены сигналы ЯМР от ядер немагнитных атомов иттрия в гидридах  $Y_6Fe_{23}H_x$ . Характер изменения частоты и интенсивности спектральных линий при поглощении водорода показан на рис. 1. Видно, что с ростом  $x$ , кроме спектральной линии на частоте 39.3 МГц от исходной фазы  $Y_6Fe_{23}$ , появляются сигналы на 42.7 и 37 МГц, максимальная интенсивность которых соответствует составам с  $x=1$  и 8.

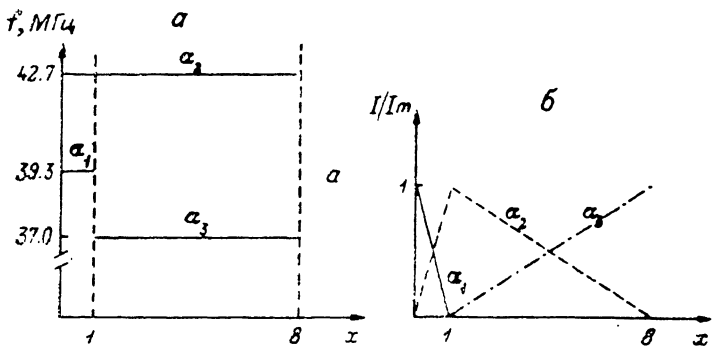


Рис. 1. Зависимость частоты (а) и интенсивности (б) сигналов ЯМР  $Y^{89}$  от содержания водорода в гидридах  $Y_6Fe_{23}H_x$ .

## 2. Обсуждение результатов

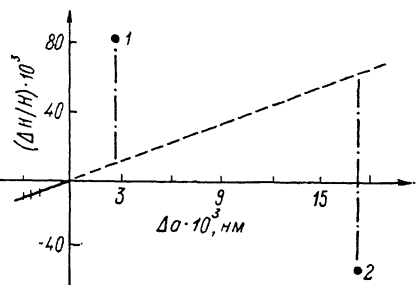
Как отмечалось выше, иттрий в  $Y_6Fe_{23}$  не имеет собственного магнитного момента, поэтому локальное магнитное поле  $H^Y$  на его ядрах полностью обусловлено влиянием магнитных атомов железа. Появление водорода в ближайшем окружении иттрия должно приводить к изменению этого влияния, что отразится на величине  $H^Y$  и, следовательно, частоте ЯМР  $Y^{89}$ . При хаотическом распределении водорода по междоузлиям должна наблюдаться сложная сателлитная структура спектра ЯМР. Амплитуда каждого сателлита в этом случае определялась бы статистическим весом той или иной конфигурации окружения водородом. В действительности мы наблюдаем узкие резонансные линии, частота которых остается неизменной в большой области концентраций водорода. Это позволяет заключить, что водород в гидридах  $Y_6Fe_{23}H_x$  может занимать определенные кристаллографические позиции в кристалле с образованием сверхструктуры.

Для выявления возможных позиций водорода в гидридах  $Y_6Fe_{23}H_1$  и  $Y_6Fe_{23}H_8$  нами был проведен анализ структуры исходного соединения. Среди различных типов междоузельных пустот были обнаружены пустоты, число которых соответствует концентрации водорода в гидридных фазах  $\alpha_2$  и  $\alpha_3$ . К ним относятся октаэдрические пустоты, образованные шестью атомами иттрия, и тетраэдрические междоузлия из трех атомов иттрия и одного атома железа. Число этих междоузлий на формульную единицу соединения  $Y_6Fe_{23}$  равно соответственно единице и восьми. Поэтому можно предположить, что в гидридах  $Y_6Fe_{23}H_x$  фаза  $\alpha_2$  есть соединение  $Y_6Fe_{23}H_1$  и представляет собой часть образца, в котором водородом заняты все октаэдрические междоузлия. Соответственно для  $\alpha_3$ -фазы — это междоузлия тетраэдрические, а химическая формула соединения  $Y_6Fe_{23}H_8$ . Идентичный характер заполнения междоузлий был обнаружен ранее [6] при нейтронографических исследованиях дейтеридов изоструктурного соединения на основе гольмия.

Из рис. 1 видно, что частота ЯМР  $Y^{89}$ , а следовательно, и локальное поле на ядрах иттрия зависят от типа межузолия, занимаемого водородом. В общем случае изменение резонансной частоты ЯМР при гидрировании может быть вызвано как расширением параметра решетки, так и влиянием электронной системы водорода на электронную структуру кристалла. Роль первого фактора может быть оценена на основе известных барических коэффициентов для локального поля  $H^Y$  и межатомного расстояния в соединении  $Y_6Fe_{23}$ . Используя величину  $\partial \ln H^Y / \partial p = (-1.7 \pm 0.1) \cdot 10^{-11} \text{ Па}^{-1}$  [3] и коэффициент сжимаемости  $K = -10^{-11} \text{ Па}^{-1}$  для  $Y_6Fe_{23}$  [7], мы нашли относительное изменение  $\Delta H^Y / H^Y$  поля на ядрах иттрия при сжатии решетки кристалла. На рис. 2 сплошной линией показана зависимость величины  $\Delta H^Y / H^Y$  от  $\Delta a \cdot 10^3 \text{ нм}$ , полученная из экспериментальных барических параметров, а штриховой — экстраполяция этой зависимости в область отрицательных давлений (изотропное расширение решетки водородом). Здесь же приведены значения  $\Delta H^Y / H^Y$ , иллю-

Рис. 2. Изменение локального магнитного поля на ядрах иттрия при всестороннем сжатии решетки кристалла  $Y_6Fe_{23}$  и переходе к гидридным фазам  $Y_6Fe_{23}H_1$  и  $Y_6Fe_{23}H_8$ .

1 —  $x=1$ , 2 — 8.



стирующие наблюдаемое изменение локальных полей при переходе от исходной фазы  $Y_6Fe_{23}$  к гидридным фазам  $Y_6Fe_{23}H_1$  и  $Y_6Fe_{23}H_8$ . Из рис. 2 видно, что эти изменения не могут быть объяснены расширением решетки при гидрировании. Очевидно, их следует связывать с влиянием электронной системы водорода на характер распределения спиновой плотности электронов в интерметаллиде. Причем это влияние для составов с  $x=1$  и 8 качественно различно. В первом случае водород вызывает увеличение спиновой плотности электронов вблизи иттрия, а во втором эта плотность существенно меньшая, чем в  $Y_6Fe_{23}$ .

Последующее обсуждение проведем на основе известных представлений, согласно которым спиновая плотность электронов вблизи иттрия возникает в результате гибридизации электронных состояний иттрия и железа. Для такой модели характерно наличие системы коллективизированных электронов, которые участвуют в формировании магнитного момента  $3d$ -атомов и определяют конечную спиновую плотность электронов на атомах  $Y$ . При этом для средних значений магнитного момента железа  $\bar{\mu}_Fe$  и локального поля на ядрах иттрия  $\bar{H}^Y$  оказываются справедливыми соотношения [2]

$$\bar{\mu}_{Fe} = \mu_0 - \bar{\mu}_1, \quad \bar{\mu}_1 \sim n/m, \quad (1)$$

$$n\bar{H}^Y/m \sim \bar{\mu}_1. \quad (2)$$

$\bar{\mu}_1$  — усредненный по узлам железа магнитный вклад коллективизированных электронов, ответственный за химическую связь иттрия с железом. Этот момент пропорционален содержанию иттрия в сплаве. Момент  $\mu_0$ , наоборот, слабо зависит от состава и отражает величину магнитного момента железа без учета влияния подрешетки иттрия.

Согласно (2), среднее поле, «наведенное» на ядрах иттрия одним атомом железа  $n\bar{H}^Y/m$ , пропорционально  $\bar{\mu}_1$ , поэтому суммарное поле  $H^Y$  не зависит от стехиометрии соединений  $Y_nFe_m$ . Изложенные выше представления достаточно хорошо описывают макроскопические и локальные магнитные характеристики соединений  $YFe_2$ ,  $YFe_3$ ,  $Y_6Fe_{23}$ ,  $Y_2Fe_{17}$ , [2, 3] и  $Y_2Fe_{14}B$  [8]. Как показывают наши исследования [9], поле  $H^Y$  обнаруживает зависимость только от межатомного расстояния и соотношения атомных потен-

циалов (числа внешних электронов) компонентов соединения. Известно также [10], что водород проявляет большую химическую активность по отношению к иттрию. Это дает основание считать, что при поглощении водорода в соединениях типа  $Y_nFe_m$  происходит изменение концентрации коллективизированных электронов, участвующих в химической связи иттрия с железом. Последнее приводит к изменению заполнения гибридной d-зоны и спиновой плотности на атомах иттрия и железа. Рост спиновой плотности вблизи иттрия для гидридов  $Y_6Fe_{23}H_1$  свидетельствует о том, что в октаэдрических междоузлиях водород выступает в качестве донора электронов. Наоборот, в гидридах  $Y_6Fe_{23}H_8$ , где заполняются тетраэдрические междоузлия, а электронная спиновая плотность на узлах иттрия ниже, водород является акцептором электронов.

### Список литературы

- [1] Васильковский В. А., Горленко А. А., Деркаченко В. Н. и др. // ФТТ. 1986. Т. 28. № 9. С. 2896—2898.
- [2] Васильковский В. А., Горленко А. А., Ковтун Н. М., Сирюк В. М. // ЖЭТФ. 1983. Т. 85. № 10. С. 1349—1356.
- [3] Васильковский В. А., Барташевич М. И., Горленко А. А. и др. // ЖЭТФ. 1990. Т. 97. № 3. С. 1041—1046.
- [4] Кринькевич П. И., Франкевич Д. П. // Кристаллография. 1965. Т. 10. № 4. С. 560.
- [5] Givord D., Givord F., Lemaire R. // J. Physique Suppl. 1971. V. 32. N 2—3. C1. P. 668—669.
- [6] Rhyne J., Hardman-Rhyne K., Kevin Smith H., Wallace W. // J. Less-Comm. Met. 1983. V. 94. N 1. P. 95—105.
- [7] Brouha M., Buschow K., Miedema A. // IEEE Trans. Magnet. 1974. V. 10. N 2. P. 182—185.
- [8] Васильковский В. А., Барташевич М. И., Горленко А. А. и др. // Тез. докл. III Всес. совещ. по ядерно-спектроскопическим исследованиям сверхтонких взаимодействий. Алма-Ата, 1989. Ч. 3. С. 204.
- [9] Васильковский В. А., Горленко А. А., Куприянов А. К., Островский В. Ф. // ФТТ. 1988. Т. 30. № 5. С. 1374—1379.
- [10] Водород в металлах. Т. I. Основные свойства / Под ред. Г. Алофельда и И. Фелькля. М.: Мир, 1981. 475 с.

Донецкий физико-технический институт  
АН УССР

Поступило в Редакцию  
14 мая 1990 г.